

# 铜绿假单胞菌重组 Bb-pGEX-OprI 疫苗的 构建及其保护力的研究\*

刘潇, 李文桂<sup>△</sup>, 罗广旭

重庆医科大学附属第一医院 传染病寄生虫病研究所 (重庆 400016)

**【摘要】目的** 构建并鉴定含有铜绿假单胞菌(*Pseudomonas aeruginosa*, Pa)外膜蛋白I(OprI)基因与两歧双歧杆菌(*Bifidobacterium bifidum*, Bb)疫苗(Bb-pGEX-OprI),并研究该疫苗对小鼠Pa感染的保护作用。**方法** PCR扩增OprI抗原编码基因并将其定向克隆至pGEX-1λT,构建重组质粒pGEX-OprI,将pGEX-OprI电穿孔转化Bb,构建Bb-pGEX-OprI疫苗,进行双酶切、PCR和测序鉴定后,异丙基-β-D-硫代半乳糖苷(IPTG)诱导表达,SDS-PAGE和Western blot分别分析并鉴定表达产物。21只小鼠随机分为3组,分别灌胃接种Bb-pGEX-OprI疫苗、空载体疫苗(Bb-pGEX-1λT)和Bb。首次免疫后4周用PA01株攻击。攻击后2周处死小鼠取肺组织,计数肺组织的细菌菌落数。免疫前、首次免疫后4周和PA01株攻击后2周采小鼠静脉血,常规ELISA检测血清IgG及其亚类和IgE。**结果** PCR成功扩增出194 bp的OprI抗原编码基因;双酶切、PCR和测序证实OprI基因成功克隆入pGEX-1λT中,并且pGEX-OprI成功转化Bb,构建为Bb-pGEX-OprI疫苗;SDS-PAGE显示Bb-pGEX-OprI表达相对分子质量约 $32 \times 10^3$ 的OprI-谷胱甘肽转移酶(GST)融合蛋白;Western blot证实融合蛋白能被Pa感染的鼠血清特异性识别。Bb-pGEX-OprI疫苗组小鼠肺组织的细菌菌落数低于Bb-pGEX-1λT组和Bb组( $P < 0.01$ ),Bb-pGEX-OprI疫苗组小鼠血清IgG、IgG2b、IgG3和IgE水平在首次免疫后4周和攻击后2周依次升高,相同时点Bb-pGEX-OprI疫苗组小鼠血清抗体水平均高于Bb-pGEX-1λT和Bb组( $P < 0.01$ 或 $P < 0.05$ )。**结论**成功构建了重组疫苗Bb-pGEX-OprI,其在小鼠抗Pa感染过程中可产生有效的体液免疫应答。

**【关键词】** 铜绿假单胞菌 两歧双歧杆菌 疫苗 免疫

## Study on Construction of Recombinant Bb-pGEX-OprI Vaccine of *Pseudomonas aeruginosa* and Its Protection Effect

LIU Xiao, LI Wen-gui<sup>△</sup>, LUO Guang-xu. Institute of Infectious and Parasitic Diseases, the First Affiliated Hospital, Chongqing Medical University, Chongqing 400016, China

△ Corresponding author, E-mail: cqliwengui@163.com

**【Abstract】Objective** To construct the recombinant Bb-pGEX-OprI vaccine of *Pseudomonas aeruginosa* (Pa) outer membrane protein I (OprI) and study its protection effect in mice against Pa. **Methods** The OprI gene was amplified by PCR, and cloned into pGEX-1λT to generate pGEX-OprI. The pGEX-OprI was transformed into *Bifidobacterium bifidum* (Bb) to construct recombinant Bb-pGEX-OprI vaccine by electroporation. After identification with double enzyme digestion, PCR and sequencing, the vaccine was then induced with IPTG, and its expression was analyzed and identified by SDS-PAGE and Western blot respectively. Twenty-one mice were randomly divided into 3 groups and vaccinated by intragastric administration with Bb-pGEX-OprI, Bb-pGEX-1λT and Bb respectively. All mice were challenged with PA01 strain at 4 weeks after the first vaccination. At 2 weeks after the challenge, mice were sacrificed to separate their lungs, and the numbers of bacterial colonies in lungs were counted. Venous blood was collected before vaccination, at 4 weeks after the first vaccination and 2 weeks after the challenge of PA01 strain. The serum IgG, IgG subclasses and IgE were detected by routine ELISA. **Results** The OprI gene of 194 bp was successfully amplified by PCR. Double enzyme digestion, PCR and sequencing confirmed that the OprI gene was successfully cloned into pGEX-1λT and pGEX-OprI was successfully transformed into Bb, constructing the Bb-pGEX-OprI vaccine. SDS-PAGE indicated that Bb-pGEX-OprI vaccine expressed an OprI-GST fusion protein with the relative molecular mass of approximately  $32 \times 10^3$ . Western blot verified that the fusion protein could be specifically identified by the sera of mice infected with Pa. The number of bacterial colonies in lung of Bb-pGEX-OprI vaccine group was lower than that of Bb-pGEX-1λT or Bb control ( $P < 0.01$ ). The levels of serum IgG, IgG2b, IgG3 and IgE in Bb-pGEX-OprI vaccine group rose at 4 weeks after the first vaccination and 2

\* 重庆市科委地方病专项基金(No. 2008AB5055、No. 2008AB5008 和 No. 2008AB5054)资助

△ 通信作者, E-mail: cqliwengui@163.com

weeks after the challenge successively. The levels of serum antibodies in Bb-pGEX-OprI vaccine group were higher than those in Bb-pGEX-1λT or Bb control at the same time point ( $P < 0.01$  or  $P < 0.05$ ). **Conclusion** The recombinant Bb-pGEX-OprI vaccine was successfully constructed and produced an effective humoral immune response against the Pa infection.

**【Key words】** *Pseudomonas aeruginosa*    *Bifidobacterium bifidum*    Vaccine    Immune

铜绿假单胞菌(*Pseudomonas aeruginosa*, Pa)是一种革兰阴性的条件致病菌,是院内感染的常见致病菌之一。Pa 的外膜通透性降低、主动泵出系统活跃、抗菌活性酶产生和生物膜形成等<sup>[1~3]</sup>因素使其对多种抗生素具有耐药性。Pa 感染若治疗不及时、不彻底,易转为慢性感染,使治疗更加困难,所以疫苗研制成为一种替代抗生素治疗的更好途径。

FINKE 等<sup>[4]</sup>将 Pa 的重组外膜蛋白 I(outer membrane protein I, OprI)加 Al(OH)<sub>3</sub> 佐剂腹腔注射免疫 BALB/c 小鼠,发现免疫组小鼠的半数致死量(LD<sub>50</sub>)是对照组的 4 倍,此研究首次证明 OprI 可对 Pa 产生特异性保护力,提示重组 OprI 可对抗 Pa 的攻击感染,是一种有希望的疫苗候选分子。两歧双歧杆菌(*Bifidobacterium bifidum*, Bb)是一种肠道益生菌,近年来成为基因工程疫苗新型载体研究的热点之一<sup>[5~6]</sup>。本研究拟构建 Pa 重组疫苗 Bb-pGEX-OprI,研究该疫苗免疫小鼠产生的保护力,为探索该疫苗的保护性免疫机制提供实验依据。

## 1 材料与方法

### 1.1 实验材料

**1.1.1 主要试剂及仪器** DNA 提取试剂盒、质粒提取试剂盒、PCR 试剂盒、异丙基-β-D-硫代半乳糖苷(IPTG, 上海生工公司);蛋白 Marker(重庆鼎国公司);*BamH* I、*EcoR* I、DNA marker、T4 DNA 连接酶(Fermentas);HRP 标记羊抗鼠 IgG、IgG1、IgG2a、IgG2b、IgG3 和 IgE(Southern Biotech);Pa 抗原、Pa 感染的鼠血清由本室制备。PCR 仪(MJ Research);电泳仪、凝胶成像分析仪(Bio-Rad),酶标仪(Thermo Scientific)。

**1.1.2 质粒和菌种** PA01 标准株由重庆医科大学附属儿童医院余加林教授惠赠;BL21(pGEX-1λT)和 Bb 菌种由本室保存。

**1.1.3 实验动物** 雌性 BALB/c 小鼠 21 只,体质量 20~25 g,购于重庆医科大学实验动物中心。

### 1.2 方法

**1.2.1 OprI 基因的扩增及鉴定** 按 DNA 提取试剂盒说明书提取 Pa 基因组 DNA。*OprI* 引物 P1:

5' - GCGGATTCTGAGCAGCCACTCCAAAGAA  
ACGAAGCT-3'(下划线部分为 *BamH* I 酶切位点), P2: 5'-GCGAATTCTATTACTTGCGGGCT  
GGC TTTTTCC-3'(下划线部分为 *EcoR* I 酶切位点), 扩增片段长 194 bp,引物由上海生工公司合成。50 μL 反应体系:2×PCR Master 25 μL,上、下游引物各 2 μL,DNA 模板 3 μL,灭菌去离子水 18 μL。条件:94 °C, 2 min; 共 35 个循环(94 °C, 30 s; 55 °C, 30 s; 72 °C, 30 s); 72 °C, 2 min。12 g/L 琼脂糖凝胶电泳鉴定产物。

**1.2.2 重组质粒 pGEX-OprI 的构建** 将 BL21 (pGEX-1λT)加入含氨苄青霉素(Amp, 质量浓度为 50 μg/mL) LB 液体培养基中,37 °C、200 r/min 摆床培养 48~72 h,按质粒提取试剂盒说明提取 pGEX-1λT。将 *OprI* 的 PCR 产物和 pGEX-1λT 均用 *BamH* I 和 *EcoR* I 进行双酶切,酶切体系均为 60 μL:42 μL 扩增产物或载体,1.3 μL *BamH* I, 1.3 μL *EcoR* I, 6 μL 10×Tango Buffer,9.4 μL 灭菌去离子水。37 °C 酶切 2 h。用纯化的酶切产物建立 20 μL 连接体系:目的基因 4 μL,载体片段 12 μL,10×T4 Buffer 2 μL,T4 DNA 连接酶 2 μL。4 °C 连接过夜。

**1.2.3 重组疫苗 Bb-pGEX-OprI 的构建及鉴定**

**1.2.3.1 pGEX-OprI 质粒电穿孔转化感受态 Bb** Bb 菌种于含 0.5 mol/L 蔗糖的 MRS 液体培养基中,37 °C 厌氧培养 48~72 h,收集菌体,用 100 mL/L 甘油制备感受态。共加入 3 次甘油,每次菌液与甘油充分混匀后离心 10 min 收集菌体。甘油体积依次为 50、25 和 10 mL,离心转速依次为 3 000、2 000、1 500 r/min。最后加入 1.5 mL 甘油,用于电转化。电转化参数:电压 800~2 500 V,时间 5 ms,电穿孔 1~5 次。电转化后加入 MRS 培养基,150 r/min 培养 2 h,取适量菌液划线接种至含 Amp 的 MRS 筛选平板上,37 °C 培养 48~72 h。  
**1.2.3.2 重组疫苗的双酶切和 PCR 鉴定** 挑选筛选平板上的阳性单克隆菌落加入液体培养基中增菌,提取重组质粒,用上述酶切体系再次进行双酶切鉴定。以提取的重组质粒为模板,按照上述 PCR 方

法扩增 *OprI*。

#### 1.2.4 重组疫苗的诱导表达及 SDS-PAGE 分析

阳性重组菌培养至吸光度(A)值为 0.5~0.8, 取适量做对照, 其余菌液加入 1 mmol/L IPTG, 收集诱导 1、2、3、4、5 和 6 d 的菌体。20 μL/孔加样, 以 100 g/L 分离胶进行电泳。pGEX-1λT 质粒含有谷胱甘肽转移酶基因(GST), *OprI* 基因插入其下游可表达为 OprI-GST 融合蛋白。

#### 1.2.5 Western blot 鉴定融合蛋白

以空载体做对照, SDS-PAGE 分析后, 半干法转膜, 常规方法封闭、洗膜, 一抗孵育 Pa 感染的鼠血清(1:100), 二抗为 HRP 标记羊抗鼠 IgG(1:1 000), 用现配的二氨基联苯胺显色液显色并成像。

#### 1.2.6 动物免疫及攻击

小鼠随机分为 3 组, 分别灌胃接种 Bb-pGEX-OprI 疫苗、空载体疫苗(Bb-pGEX-1λT)和 Bb 对照, 每组 7 只,  $5 \times 10^9$  CFU 疫苗重悬于 100 μL MRS 培养基, 连续接种 3 周, 每周连续接种 3 d。首次免疫后 4 周用  $5 \times 10^6$  CFU 的 PA01 株重悬于 10 μL LB 液体培养基, 鼻腔内一次性接种进行攻击。

#### 1.2.7 肺组织细菌计数

攻击后 2 周处死小鼠, 无菌取肺组织, 匀浆稀释后涂皿, 37 °C 培养 2 d, 进行菌落计数。

#### 1.2.8 ELISA 检测血清抗体

免疫前和首次免疫后 4 周小鼠尾静脉取血, PA01 株攻击后 2 周摘除眼球取血, 分离血清冻存备用。常规 ELISA 检测抗体: 1 μg/孔 Pa 抗原包被, 小鼠血清 1:100 稀释, HRP 标记的羊抗鼠 IgG、IgG1、IgG2a、IgG2b、IgG3 和 IgE 均以 1:6 000 稀释, 酶标仪测 A<sub>450</sub> 值。

#### 1.2.9 统计学方法

数据用  $\bar{x} \pm s$  表示。肺细菌计数用 lg(CFU/mL) 表示。满足方差齐性和正态性的数据多组间比较采用单因素方差分析, 两两比较采用 SNK-q 检验; 不满足方差齐性或正态性的数据采用非参数检验。P<0.05 为差异有统计学意义。

## 2 结果

### 2.1 OprI 基因的 PCR 扩增结果

扩增结果见图 1, 获得约 194 bp 的 *OprI* 基因片段。

### 2.2 重组疫苗的双酶切和 PCR 鉴定

从具有 Amp 抗性的重组菌中提取的重组质粒经双酶切后产生约 4 947 bp 的 pGEX-1λT 载体片段和 194 bp 的 *OprI* 基因片段(图 2), 以重组质粒为模板 PCR 扩增出约 194 bp 的 *OprI* 基因片段, 经上海生工

公司测序证实插入的片段与设计序列一致。

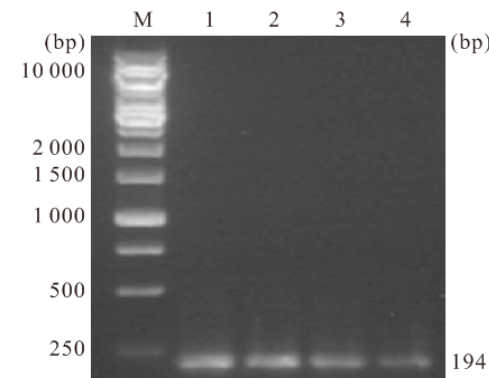


图 1 *OprI* 基因的 PCR 扩增结果

Fig 1 PCR result of *OprI* gene

M: DNA marker; 1-4: PCR products of *OprI* gene

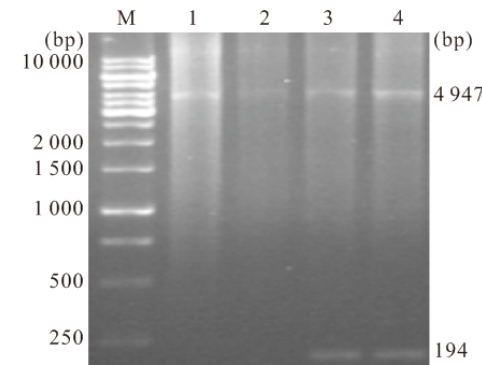


图 2 pGEX-OprI 双酶切鉴定

Fig 2 Identification of pGEX-OprI with double enzyme digestion

M: DNA marker; 1, 2: pGEX-1λT; 3, 4: pGEX-OprI digested with *Bam*H I and *Eco*R I

### 2.3 SDS-PAGE 分析

Bb-pGEX-OprI 在相对分子质量约  $32 \times 10^3$  (*OprI*:  $6 \times 10^3$ , GST:  $26 \times 10^3$ ) 处出现与预期相符的特异性 OprI-GST 融合蛋白条带(图 3)。凝胶分析显示诱导 3 d 后表达量达较高水平, 融合蛋白约占菌体

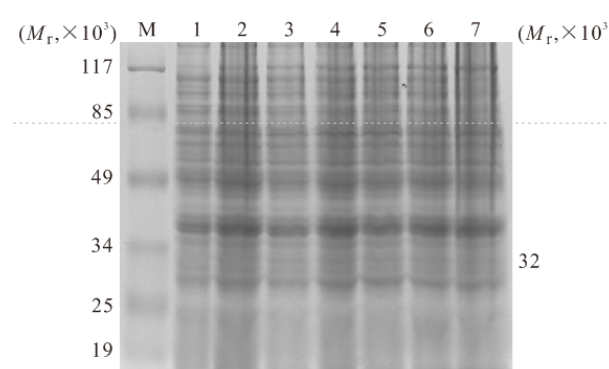


图 3 Bb-pGEX-OprI 表达蛋白的 SDS-PAGE 分析

Fig 3 SDS-PAGE of expressed proteins of Bb-pGEX-OprI

M: Protein marker; 1: Expressed proteins of Bb-pGEX-OprI without induction; 2-7: Expressed proteins of Bb-pGEX-OprI induced for 1, 2, 3, 4, 5 and 6 d respectively

总蛋白的 6%。未经诱导的重组菌无此条带出现。

#### 2.4 Western blot 鉴定

Bb-pGEX-OprI 疫苗表达的融合蛋白可被 Pa 感染的鼠血清识别,在相对分子质量约  $32 \times 10^3$  处出现特异性反应条带,空载体对照无此条带(图 4)。

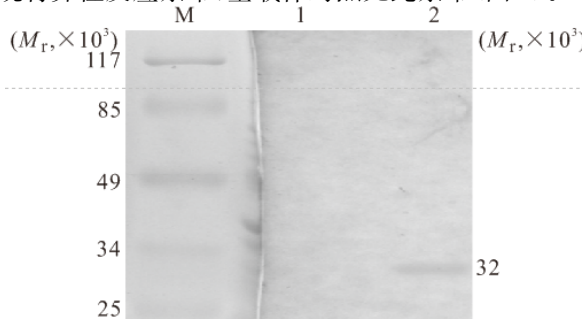


图 4 Bb-pGEX-OprI 表达蛋白的 Western blot 鉴定

Fig 4 Western blot of expressed protein of Bb-pGEX-OprI

M: Protein marker; 1: Control; 2: OprI-GST protein

#### 2.5 肺组织的细菌菌落数

小鼠肺组织细菌菌落计数显示,Bb-pGEX-OprI 疫苗组 [( $7.653 \pm 0.082$ ) lg CFU/mL] 低于 Bb-pGEX-1λT 组 [( $8.730 \pm 0.062$ ) lg CFU/mL] 和 Bb 组 [( $8.788 \pm 0.065$ ) lg CFU/mL] ( $P$  均 < 0.01),Bb-pGEX-1λT 组和 Bb 组之间差异无统计学

意义( $P > 0.05$ )。

#### 2.6 小鼠血清 IgG 及其亚类和 IgE 水平

IgG1、IgG2a 在所有组所有时点均未检出。同组内不同时间点比较,3 组小鼠免疫后 4 周和攻击后 2 周的 IgG、IgG2b、IgG3 和 IgE 水平均明显高于免疫前( $P$  均 < 0.01),3 组攻击后 2 周的 IgG、IgG2b 和 IgE 较首次免疫后 4 周升高( $P$  均 < 0.01),Bb-pGEX-OprI 疫苗组攻击后 2 周的 IgG3 水平较首次免疫后 4 周升高( $P < 0.05$ )。见附表。

同一时间点不同组间比较,免疫前 IgG、IgG2b、IgG3 和 IgE 水平在 3 组间的差异均无统计学意义( $P$  均 > 0.05)。首次免疫后 4 周,Bb-pGEX-OprI 疫苗组的 IgG 水平高于空载体组和 Bb 组( $P$  均 < 0.01),空载体组高于 Bb 组( $P < 0.05$ ),Bb-pGEX-OprI 疫苗组和空载体组的 IgE 水平均明显高于 Bb 组( $P$  均 < 0.01),Bb-pGEX-OprI 疫苗组高于空载体组( $P < 0.05$ )。对首次免疫后 4 周的 IgG2b、IgG3 及攻击后 2 周的 IgG、IgG2b、IgG3 和 IgE 水平进行三组间的两两比较,发现 Bb-pGEX-OprI 疫苗组和空载体组均高于 Bb 组,Bb-pGEX-OprI 疫苗组均高于空载体组( $P$  均 < 0.01)。见附表。

附表 疫苗免疫及 PA01 株攻击后小鼠血清抗体检测

Table Detection on antibodies in sera of mice immunized with vaccine and challenged with PA01 strain

Time	Group	IgG	IgG1	IgG2a	IgG2b	IgG3	IgE
BV	A	0.030 ± 0.002	0	0	0.005 ± 0.001	0.005 ± 0.002	0.006 ± 0.001
	B	0.030 ± 0.002	0	0	0.006 ± 0.002	0.005 ± 0.002	0.006 ± 0.001
	C	0.030 ± 0.002	0	0	0.006 ± 0.001	0.005 ± 0.002	0.006 ± 0.001
FV <sub>4w</sub>	A	0.069 ± 0.003 **,aa,bb	0	0	0.028 ± 0.002 **,aa,bb	0.022 ± 0.002 **,aa,bb	0.026 ± 0.002 **,aa,b
	B	0.056 ± 0.002 **,a	0	0	0.019 ± 0.002 **,aa	0.016 ± 0.002 **,aa	0.024 ± 0.002 **,aa
	C	0.052 ± 0.004 **	0	0	0.015 ± 0.001 **	0.010 ± 0.002 **	0.020 ± 0.001 **
C <sub>2w</sub>	A	0.100 ± 0.006 **,#,aa,bb	0	0	0.046 ± 0.003 **,#,aa,bb	0.025 ± 0.003 **,#,aa,bb	0.039 ± 0.002 **,#,aa,bb
	B	0.081 ± 0.004 **,#,aa	0	0	0.041 ± 0.002 **,#,aa	0.019 ± 0.002 **,#,aa	0.035 ± 0.002 **,#,aa
	C	0.070 ± 0.002 **,#	0	0	0.037 ± 0.002 **,#	0.014 ± 0.002 **,#	0.029 ± 0.002 **,#

BV: Before vaccination; FV<sub>4w</sub>: 4 weeks after first vaccination; C<sub>2w</sub>: 2 weeks after challenge; A: Bb-pGEX-OprI; B: Bb-pGEX-1λT; C: Bb. \*  $P < 0.05$ , \*\*  $P < 0.01$ , vs. BV in the same group; #  $P < 0.05$ , ##  $P < 0.01$ , vs. FV<sub>4w</sub> in the same group; a  $P < 0.05$ , aa  $P < 0.01$ , vs. C group at the same time point; b  $P < 0.05$ , bb  $P < 0.01$ , vs. B group at the same time point

#### 3 讨论

MIZUNO 等<sup>[7]</sup>首次分离出 Pa 的 OprI 蛋白,相对分子质量为  $8 \times 10^3$ 。LAM 等<sup>[8]</sup>发现急慢性 Pa 感染患者和动物血清的抗体均可识别 OprI,表明 OprI 具有较好的免疫原性,适合成为一种疫苗候选分子。LOOTS 等<sup>[9]</sup>发现 OprI 可黏附于鸡气管黏膜和小肠上皮细胞,与抗原提呈细胞和上皮细胞的 Toll 样受体结合进而促进抗原的摄取,这对 OprI 黏膜疫苗研究有重要意义。

本研究使用的质粒 pGEX-1λT 含有高效的 tac 启动子,使 mRNA 的转录水平明显提高,含有大肠

杆菌和 Bb 的复制起始点,GST 基因是多克隆位点上游的标签蛋白编码基因,GST 蛋白与目的蛋白的融合表达可增加融合蛋白的溶解性。朱佑明等<sup>[5]</sup>利用 pGEX-1λT 使 Pa 的 OprF 蛋白在 Bb 中正确表达。本研究构建了 pGEX-OprI,并将其电穿孔转化 Bb,诱导表达结果显示表达的融合蛋白占菌体总蛋白的 6%,诱导 3 d 后表达量达较高水平,提示该疫苗能够表达 OprI-GST 蛋白。Western blot 结果显示融合蛋白可与 Pa 感染的鼠血清发生反应,提示该融合蛋白具有一定的抗原性。

周必英等<sup>[6]</sup>用细粒棘球绦虫重组 Bb-Eg95-

EgA31 疫苗灌胃免疫小鼠, 原头节攻击后发现囊重抑制率为 62.67%, 提示灌胃免疫是一种较好的途径。本研究也采用灌胃途径免疫小鼠, PA01 株攻击后发现疫苗组肺组织的细菌菌落数明显低于对照组, 表明该疫苗可诱导小鼠产生一定的保护力。

本研究发现首次免疫后 4 周疫苗组的血清 IgG 升高, 与 ZHANG 等<sup>[10]</sup>报道相似。我们推测灌胃免疫后重组 Bb 菌在小鼠肠道定植并高效、稳定地表达 OprI 抗原, 经肠道派氏集合淋巴小结内的 M 细胞摄取后转运给抗原提呈细胞, 后者将抗原呈递给 T 细胞, 进而使其分化为 Th 细胞, Th 细胞辅助 B 细胞分化为浆细胞产生抗体, 通过再循环途径进入血液, 使血清中抗体升高。IgG 可通过中和作用和细胞毒作用(ADCC)等途径杀死 Pa。

本研究发现首次免疫后 4 周的疫苗组小鼠血清 IgG2b 和 IgG3 明显升高, 与 DUNKLEY 等<sup>[11]</sup>结果相似, 提示 IgG2b 和 IgG3 与保护作用有关。推测在 Th1 和 Th2 细胞分泌的干扰素-γ 和转化生长因子-β 等细胞因子的作用下浆细胞产生较多的 IgG3 和 IgG2b。IgG2b 和 IgG3 可通过激活补体清除 Pa, Pa 的调理吞噬作用需要补体固定, 特别是 C3b<sup>[12]</sup>, IgG2b, IgG3 和补体分别结合巨噬细胞及中性粒细胞上的 Fc 受体和补体受体发挥联合调理作用, 促进这些细胞对 Pa 菌体的吞噬。IgG3 还可结合 NK 细胞上的 Fc 受体产生 ADCC 杀伤 Pa。

王国富等<sup>[13]</sup>用表达福氏志贺菌 ipaB 蛋白的重组 Bb 疫苗多次灌胃免疫小鼠, 发现首次免疫后 4 周, 免疫鼠血清 IgE 升高。本研究显示首次免疫后 4 周免疫鼠的血清 IgE 升高, 推测多次免疫后疫苗表达的 OprI 抗原使 B 细胞分泌特异性 IgE 增多并使肥大细胞、嗜碱性粒细胞和嗜酸性粒细胞活化脱颗粒发挥促炎症作用而抵抗 Pa 的感染。

BRIDGE 等<sup>[14]</sup>发现免疫表达 Pa O 抗原的重组沙门氏菌疫苗, 并用 PA103 株攻击的小鼠, 血清 IgG 较首次免疫后 27 d 的更高, 抗体介导的调理吞噬作用也更显著。本研究发现 PA01 株攻击后 2 周血清 IgG 及其亚类和 IgE 均较首次免疫后 4 周升高, 表明该疫苗不仅可以在接种后引起中和抗体升高, 并且能产生良好的免疫记忆, 提示用该疫苗首次灌胃免疫后, 部分 B 细胞成为记忆性 B 细胞, 用 PA01 株攻击后, 记忆性 B 细胞再次接触到 Pa 菌体表面的 OprI 抗原, 抗体浓度迅速增高, 产生的体液免疫应答比首次免疫后更加高效和持久。

## 参 考 文 献

- [1] BLAIR JM, RICHMOND GE, PIDDOCK LJ. Multidrug efflux pumps in Gram-negative bacteria and their role in antibiotic resistance. Future Microbiol, 2014, 9(10): 1165-1177.
- [2] KHATUA B, VAN VLEET J, CHOUDHURY BP, et al. Sialylation of outer membrane porin protein D: a mechanistic basis of antibiotic uptake in *Pseudomonas aeruginosa*. Mol Cell Proteomics, 2014, 13(6): 1412-1428.
- [3] HILL D, ROSE B, PAJKOS A, et al. Antibiotic susceptibilities of *Pseudomonas aeruginosa* isolates derived from patients with cystic fibrosis under aerobic, anaerobic, and biofilm conditions. J Clin Microbiol, 2005, 43(10): 5085-5090.
- [4] FINKE M, DUCHÈNE M, ECKHARDT A, et al. Protection against experimental *Pseudomonas aeruginosa* infection by recombinant *P. aeruginosa* lipoprotein I expressed in *Escherichia coli*. Infect Immun, 1990, 58(7): 2241-2244.
- [5] 朱佑明, 罗永艾, 李文桂. 铜绿假单胞菌重组 Bb-OprF 疫苗构建及鉴定. 中国人兽共患病学报, 2011, 27(4): 303-306.
- [6] 周必英, 陈雅棠, 李文桂, 等. 细粒棘球绦虫重组 Bb-Eg95-EgA31 融合蛋白诱导小鼠免疫应答. 免疫学杂志, 2010, 26(3): 232-237.
- [7] MIZUNO T, KAGEYAMA M. Separation and characterization of the outer membrane of *Pseudomonas aeruginosa*. J Biochem, 1978, 84(1): 179-191.
- [8] LAM JS, MUTHARIA LM, HANCOCK RE, et al. Immunogenicity of *Pseudomonas aeruginosa* outer membrane antigens examined by crossed immunoelectrophoresis. Infect Immun, 1983, 42(1): 88-98.
- [9] LOOTS K, REVETS H, GODDEERIS BM. Attachment of the outer membrane lipoprotein (OprI) of *Pseudomonas aeruginosa* to the mucosal surfaces of the respiratory and digestive tract of chickens. Vaccine, 2008, 26(4): 546-551.
- [10] ZHANG M, SUN C, GU J, et al. *Salmonella Typhimurium* strain expressing OprF-OprI protects mice against fatal infection by *Pseudomonas aeruginosa*. Microbiol Immunol, 2015, 59(9): 533-544.
- [11] DUNKLEY ML, RAJYAGURU S, MCCUE A, et al. *Pseudomonas aeruginosa*-specific IgG1 and IgG2 subclasses in enhancement of pulmonary clearance following passive immunisation in the rat. FEMS Immunol Med Microbiol, 2003, 39(1): 37-44.
- [12] DIGIANDOMENICO A, WARRENER P, HAMILTON M, et al. Identification of broadly protective human antibodies to *Pseudomonas aeruginosa* exopolysaccharide Psl by phenotypic screening. J Exp Med, 2012, 209(7): 1273-1287.
- [13] 王国富, 薛士鹏, 吴利先. 双歧杆菌介导的福氏志贺菌 Bb-ipaB 疫苗免疫机制研究. 中国病原生物学杂志, 2013, 8(4): 315-317.
- [14] BRIDGE DR, WHITMIRE JM, MAKOBONGO MO, et al. Heterologous *Pseudomonas aeruginosa* O-antigen delivery using a *Salmonella enterica* serovar *Typhimurium* wecA mutant strain. Int J Med Microbiol, 2016, 306(7): 529-540.

(2017-07-08 收稿, 2017-10-20 修回)

编辑 沈进